



PERÚ

Ministerio
de la Producción



IMARPE
INSTITUTO DEL MAR DEL PERÚ

BOLETÍN SEMANAL OCEANOGRÁFICO Y BIOLÓGICO-PESQUERO

Año 5, N°30

Semana 30: 22 - 28/07/2020

DIAGNÓSTICO SEMANAL DEL MAR PERUANO

El mar peruano (dentro de las 200 millas náuticas) presentó valores de temperatura superficial del mar (TSM) entre 24,3 °C (Zorritos) y 13,7 °C (Punta Caballas). Continuó la expansión de las aguas de 20 y 19 °C de Paita al Noroeste (NO), así como la proyección de las aguas costeras con TSM inferiores a 17 °C entre Pisco y Atico. Mar adentro, continuó el repliegue de aguas con temperaturas mayores a 18 °C; a excepción del sector entre Huarney y Callao donde se mantuvieron cercanas a la costa. En el contexto regional, se apreció la permanencia del frente ecuatorial que se localizó desde el sector al norte de las islas Galápagos hasta el litoral de Tumbes en el norte peruano (Figuras 1 a, b). Según el producto Mercator (Figura 1b), persistieron Aguas Tropicales Superficiales (ATS) y Aguas Ecuatoriales Superficiales (AES) en la franja costera adyacente a Tumbes y al norte de Talara, respectivamente. Las aguas costeras frías (ACF) predominaron entre Punta Falsa y Pacasmayo y del Callao al sur. Las demás zonas costeras presentaron aguas de mezcla entre las ACF y Aguas Subtropicales Superficiales (ASS). El sector ecuatorial oriental y el mar peruano continuaron presentando enfriamiento anómalo de hasta -4,7 °C, en el primer caso, y de hasta -3,1 °C entre Paita y Punta Falsa, en el segundo caso (Figura 2). En términos generales, durante la semana el campo térmico frente al Perú se mantuvo similar a la observado la semana anterior; mientras que al este de islas Galápagos presentó un fuerte enfriamiento de hasta -5,6 °C con relación a la semana anterior (Figura 3 d).

En la franja de ~111 km adyacente a la costa entre el ecuador geográfico y 22°S, la intensidad del viento registró velocidades entre 3,4 y 12,0 m/s. Al principio de la semana predominaron vientos fuertes (entre 6,8 a 10,2 m/s) a muy fuertes (> 10,2 m/s), con anomalías > +1,5 m/s, desde Talara al sur y principalmente entre Callao y San Juan de Marcona, pero en los últimos días la velocidad del viento se debilitó a lo largo de la costa, disminuyendo las anomalías a valores cercanos a cero (Figura 4 a). La dirección del viento mostró predominancia de la componente sur y sureste y no evidenció cambios respecto a la semana anterior. A escala regional, la anomalía del nivel del mar (ANM) con un filtro de 120 días, en una grilla próxima a las islas Galápagos (http://www.imarpe.gob.pe/ftp/enso/imagenes/ANMM_dd_PacEcPeru.png), presentó un ligero incremento, variando entre +0,8 cm (22 de julio) y +1,9 cm (28 de julio), mientras que, del mismo modo que en la franja adyacente a la costa peruana, especialmente en la zona norte (Figura 4 b). Por otro lado, entre Talara y Pisco continuó el enfriamiento anómalo del mar, extendiéndose al norte. El máximo enfriamiento ocurrió al inicio de la semana entre Talara y Paita (-2,6 °C) y Chimbote (-2,3 °C) declinando en intensidad al término del periodo (Figura 4 c).

El flotador ARGO frente a Tumbes (~85,2 °W y ~3,2 °S) a 260 m.n. frente a la costa (29 de julio), mostró una TSM de 18,5 °C con una anomalía de -4,0 °C (Figura 5). En la columna de agua se detectó en promedio anomalías negativas sobre los 100 m, alcanzando valores entre -2 °C y -4 °C sobre los 50 m, las más intensas en lo que va del año. Por otra parte, la salinidad indicó presencia de ASS sobre los 120 m, además de indicar un mayor predominio de las ASS que lo habitual sobre los 30 m.

PERSPECTIVAS A CORTO PLAZO

Según la información del pronóstico del viento adquirida de la base de datos del Modelo Atmosférico del Sistema de Pronóstico Global (GFS, por sus siglas en inglés) de la NOAA/NCEP (https://pac-paha.pacioos.hawaii.edu/erddap/griddap/ncep_global.html), en gran parte de la costa peruana, durante los días 30 de julio y el 06 de agosto, se esperan vientos débiles a moderados al norte de San Juan de Marcona (entre 2,8 a 6,8 m/s), y vientos moderados a ligeramente fuertes (> 6,8 m/s) fuera de la costa, particularmente de Pisco hacia el sur, mientras que, al sur de San Juan de Marcona se esperan vientos débiles. Por ello se espera la predominancia de anomalías negativas cerca de la costa, particularmente en el extremo sur.

De acuerdo al pronóstico de Mercator Océan, para el periodo del 30 julio al 8 de agosto se espera que persistan las anomalías negativas de la TSM en la zona norte y centro y así mismo la expansión de las ACF, aunque con menos intensidad que la semana previa (http://www.imarpe.gob.pe/imarpe/index.php?id_seccion=I0178040300000000000000).

Por otro lado, la última simulación del modelo de ondas Kelvin ecuatoriales implementado en el IMARPE, forzado con anomalías del esfuerzo del viento ecuatorial obtenidos del NCEP al 26.07.2020 indica que la persistencia de las anomalías del viento del este en el Pacífico ecuatorial central reforzó la **onda Kelvin fría** (modo 1) que llegará al extremo del Pacífico ecuatorial oriental en **agosto**. Asimismo, esta persistencia de las anomalías del viento del este generó una nueva **onda Kelvin fría** (modo 2) que llegará al extremo del Pacífico ecuatorial oriental en **setiembre**. Se espera que estas ondas frías contribuyan a mantener o intensificar las condiciones frías anómalas frente a la costa peruana durante el invierno (http://www.imarpe.gob.pe/imarpe/index.php?id_seccion=I017804010000000000000000).

I. CONDICIONES FÍSICAS REGIONALES Y DE MACROESCALA

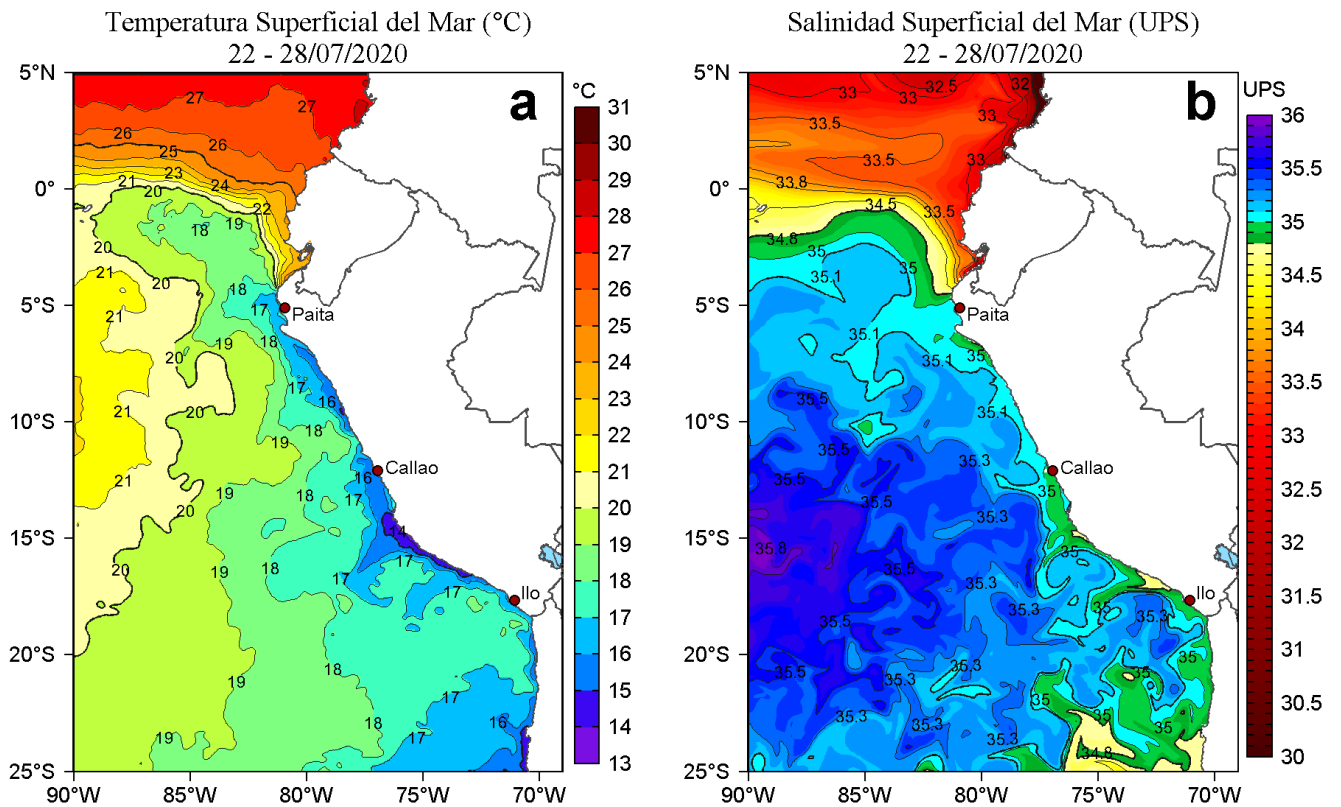


Figura 1. Distribución espacial promedio de: a) Temperatura superficial del mar (TSM, °C) y b) Salinidad superficial del mar (SSM, ups) para la semana del 22 al 28 de julio de 2020 en el océano Pacífico tropical oriental. Datos: OSTIA-UKMO-L4-GLOB-v2.0 (UK Met Office, 2012; Donlon et al, 2012) disponible en <https://podaac.jpl.nasa.gov/dataset/OSTIA-UKMO-L4-GLOB-v2.0> para (a) y del GLOBAL_ANALYSIS_FORECAST_PHY_001_024 (Lellouche, J.-M. et al, 2013) disponible en http://marine.copernicus.eu/services-portfolio/access-to-products/?option=com_csw&view=details&product_id=GLOBAL_ANALYSIS_FORECAST_PHY_001_024 para (b). Las escalas de colores de la TSM como de la SSM se presentan a la derecha de cada gráfico. Procesamiento: LHF/AFIOF/DGIOCC/IMARPE.

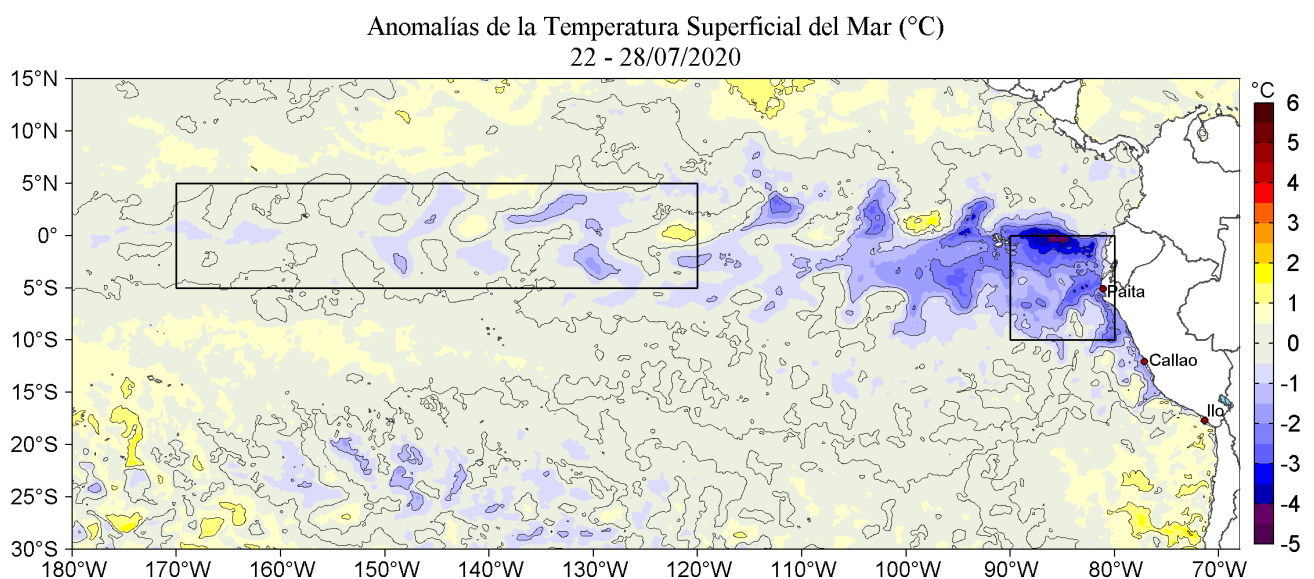


Figura 2. Anomalías promedio de la Temperatura superficial del mar (°C) en el océano Pacífico tropical para la semana del 22 al 28 de julio de 2020. Las regiones Niño 3.4 y Niño 1+2 en los sectores central y oriental del océano, respectivamente están delimitadas con una línea de color gris. Datos: OSTIA-UKMO-L4-GLOB-v2.0 (UK Met Office, 2012; Donlon et al, 2012) disponible en <https://podaac.jpl.nasa.gov/dataset/OSTIA-UKMO-L4-GLOB-v2.0>. Las anomalías se calcularon con respecto de la climatología para el período 2007-2016. Procesamiento: LHF/AFIOF/DGIOCC/IMARPE.

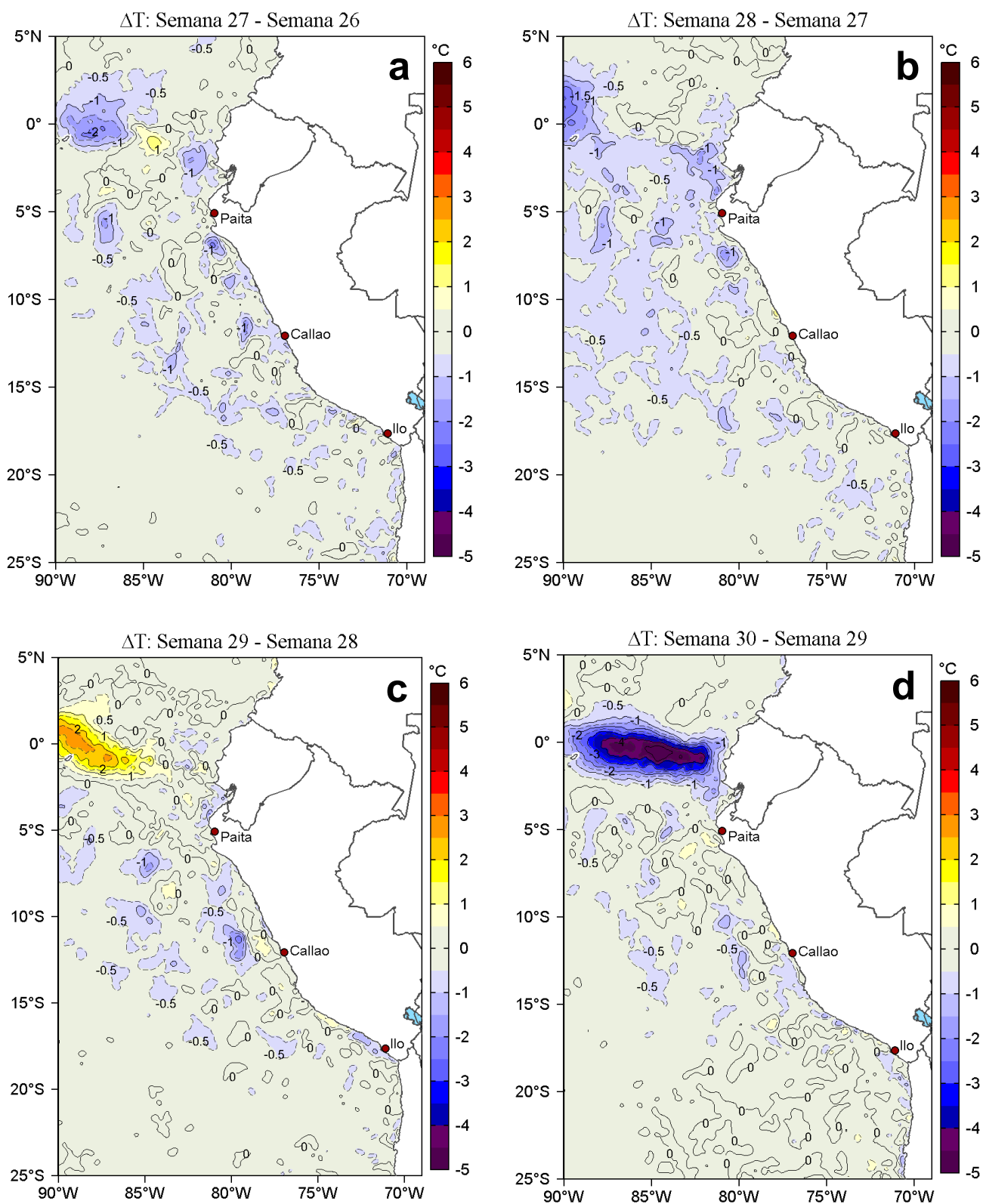


Figura 3. Variación semanal de la temperatura superficial del mar (°C) en el océano Pacífico tropical oriental entre: a) vigésima séptima (01-07 de julio) y vigésima sexta (24-30 de junio) semana del 2020, b) vigésima octava (08-14 de julio) y vigésima séptima (01-07 de julio) semana del 2020, c) vigésima novena (15-21 de julio) y vigésima octava (08-14 de julio) semana del 2020 y d) trigésima (22-28 de julio) y vigésima novena (15-21 de julio) semana del 2020. Los mapas, que indican el grado de calentamiento o enfriamiento de una semana a otra, provienen de OSTIA-UKMO-L4-GLOB-v2.0 (UK Met Office, 2012; Donlon et al, 2012). La barra de colores a la derecha muestra la diferencia de la temperatura entre la presente y la semana previa. Procesamiento: LHF/AFIOF/DGIOCC/IMARPE.

II. CONDICIONES LOCALES

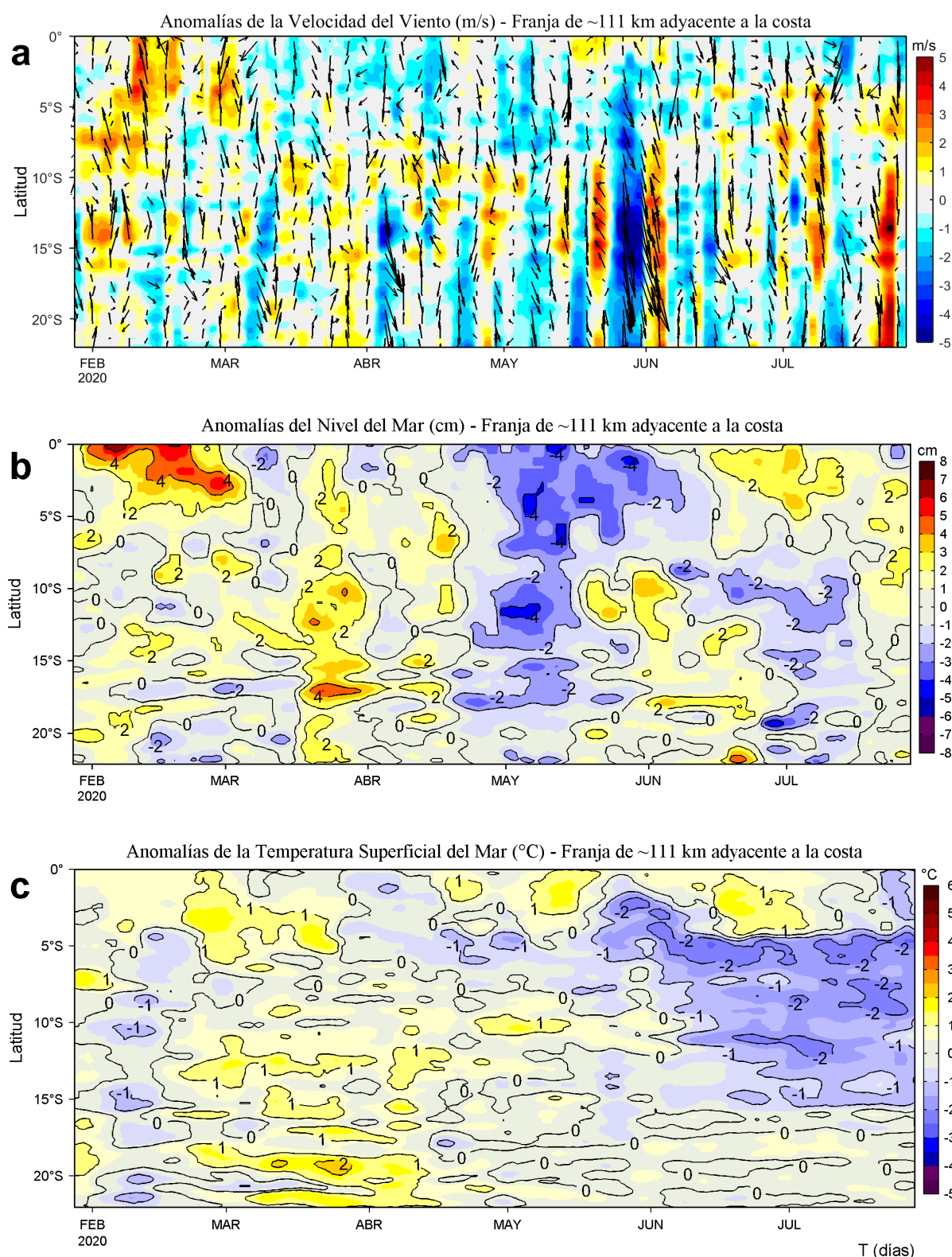


Figura 4. Evolución de las anomalías diarias de: a) Velocidad del viento (m/s), b) Nivel del mar (cm), c) Temperatura superficial del mar (°C) para el último semestre, actualizado al 28 de julio de 2020. Los datos de anm consideran un filtro pasa alto de 120 días. Datos: de IFREMER/CERSAT para (a), del Servicio de Monitoreo del Ambiente Marino Copernicus (CMEMS en inglés) para (b), de OSTIA-UKMO-L4-GLOB-v2.0 para (c). Las anomalías fueron calculadas para una franja de 111 km adyacente a la costa entre el ecuador y 22°S según los promedios climatológicos diarios de 2000-2014 para (a), de 1993-2010 para (b) y de 2007-2016 para (c). La barra de colores a la derecha muestra la escala de las anomalías en cada caso. Procesamiento: LHF/AFIOF/DGIOCC/IMARPE.

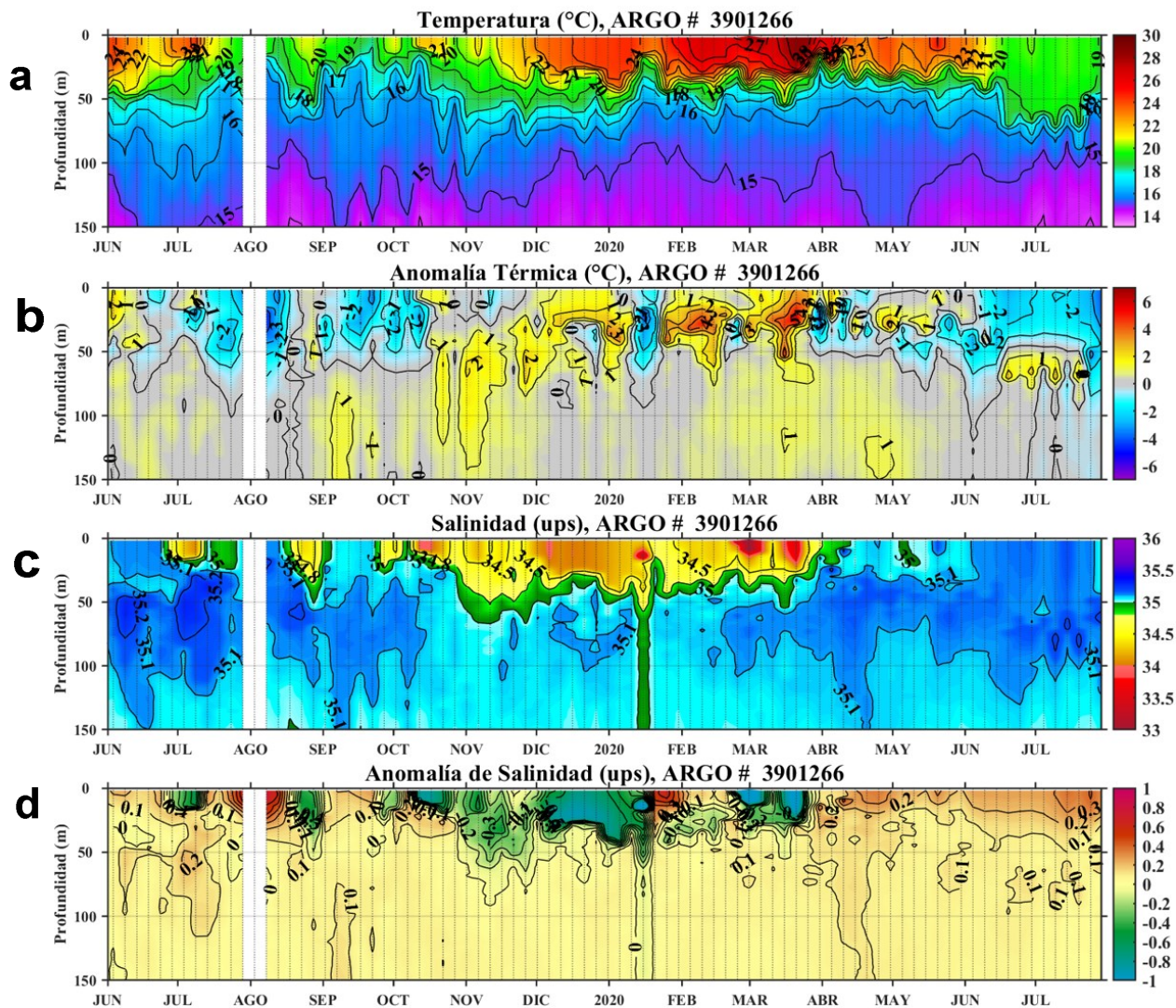


Figura 5. Diagrama Hovmöller de: a) Temperatura del mar (°C), b) Anomalías térmicas (°C), c) Salinidad del agua de mar (ups) y d) Anomalía de la salinidad del mar (ups) frente a Tumbes (~85,2°W y ~3,2°S) de junio del 2019 al 29 de julio de 2020. Las anomalías de la temperatura del agua (°C) y de salinidad (ups) se calcularon de acuerdo a Domínguez et al (2017). Los puntos en la columna de agua indican los días en que el perfilador ARGO registró información. Datos: ARGO. Procesamiento: LHQM/AFIOQ/DGIOCC/IMARPE.

III. ÍNDICES CLIMÁTICOS Y BIOLÓGICO-PESQUEROS

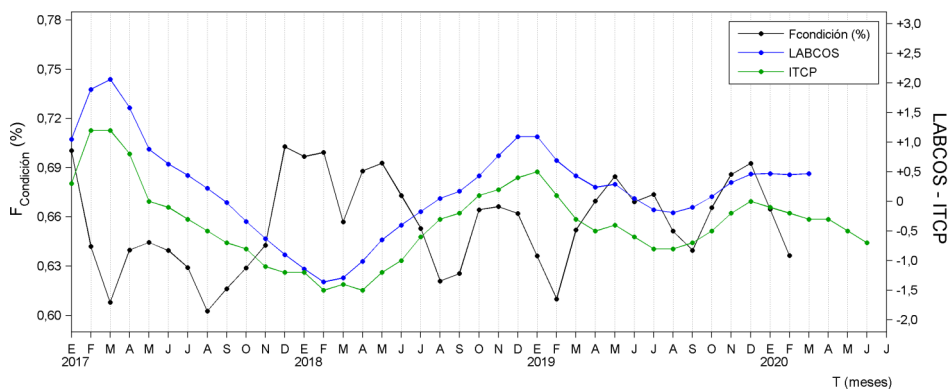


Figura 6. Series de tiempo mensual de los índices: LABCOS (línea punteada de color azul), Índice Térmico Costero Peruano (ITCP, línea de color verde) y el Factor de Condición (%), en color negro desde enero de 2017. La metodología para estimar estos índices se encuentran en Quispe y Vásquez (2015), Quispe et al (2016), Takahashi, et al. (2014) y Perea et al (2015), respectivamente. Procesamiento: LHFPM/AFIOF/DGIOCC/IMARPE.

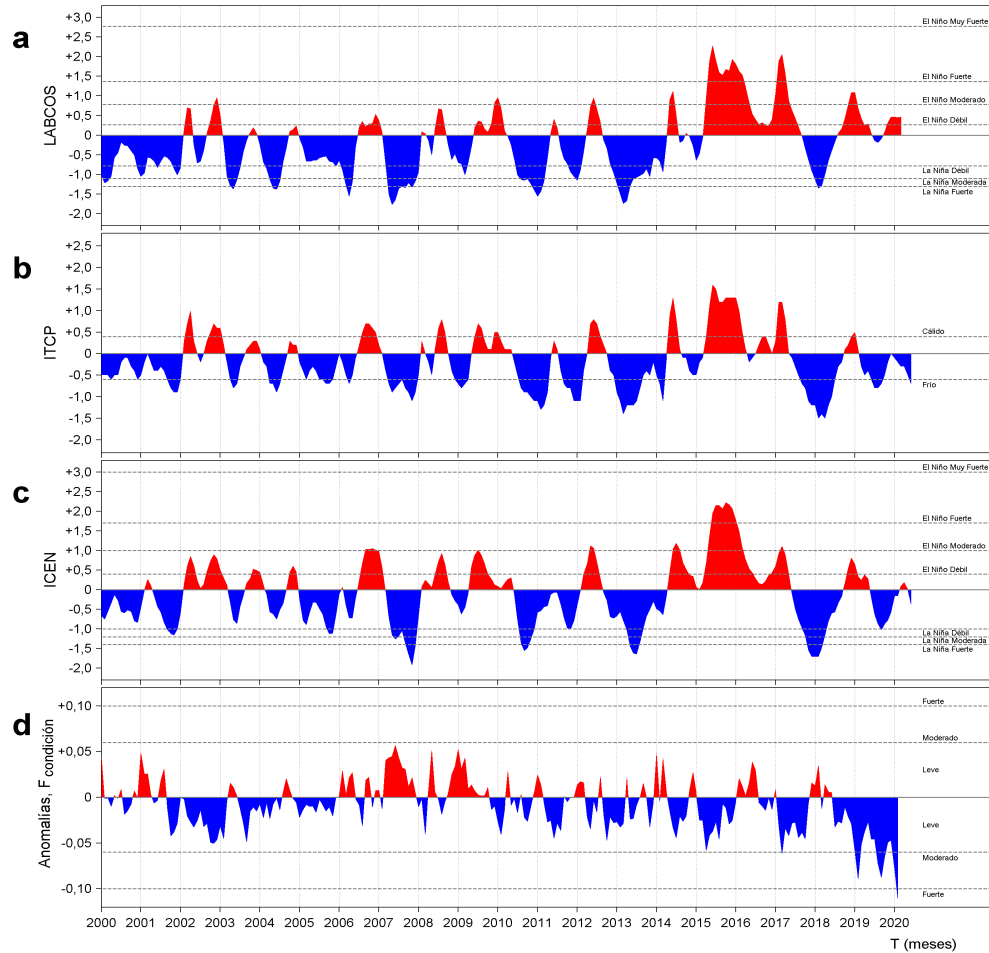


Figura 7. Series de tiempo de índices climáticos y biológico-pesqueros: a) Índice LABCOS (Quispe y Vásquez, 2015), b) Índice Térmico Costero Peruano (ITCP; Quispe et al., 2016), c) Índice Costero El Niño (ICEN; Takahashi et al., 2014) y d) Anomalías del Factor de Condición de la anchoveta en la región norte-centro (Perea et al., 2015) desde el año 2000.

IV. PERSPECTIVAS

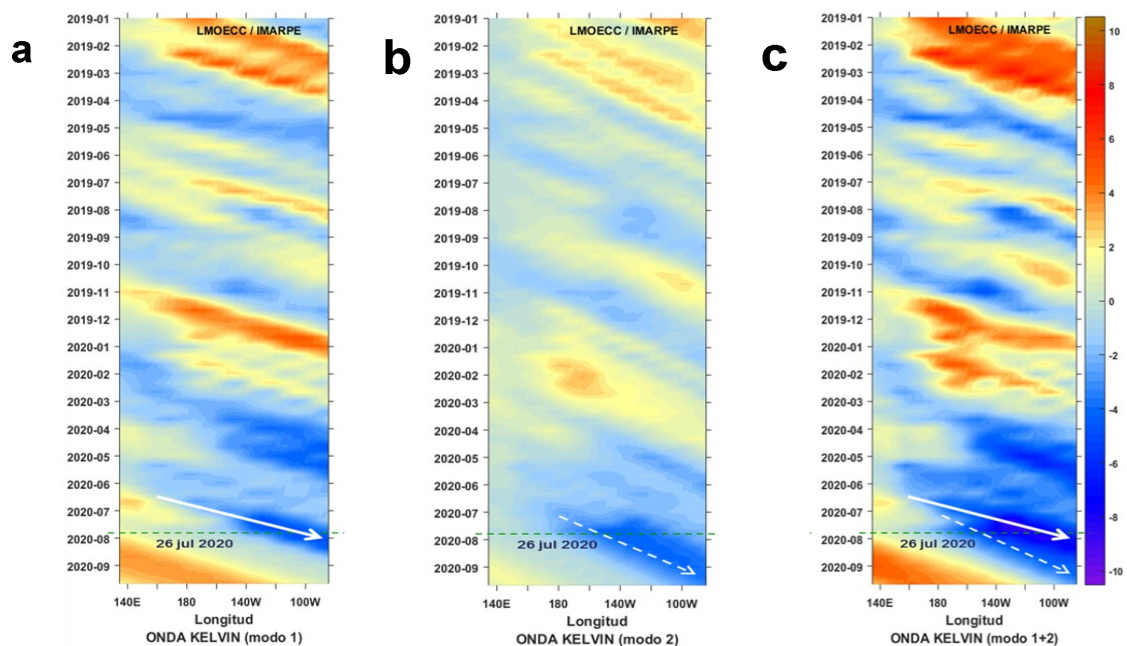


Figura 8. Diagramas Hovmöller longitud-tiempo de las Ondas Kelvin Ecuatoriales en el Océano Pacífico Ecuatorial entre 130°E y 95°W forzado con anomalías del esfuerzo del viento (N/m^2) del NCEP (Kalnay et al. 1996) de acuerdo con la metodología de Illig et al. (2004) y Dewitte et al. (2002): a) Modo 1, b) Modo 2 y c) Modos 1+2. La línea discontinua horizontal de color verde indica el inicio del pronóstico con anomalías del esfuerzo del viento igual a cero. Los valores negativos corresponden a ondas Kelvin de afloramiento “frías” (flechas blancas).

RECONOCIMIENTOS

The Group for High Resolution Sea Surface Temperature (GHRSSST) Multi-scale Ultra-high Resolution (MUR) Level 4 OSTIA Global Foundation Sea Surface Temperature Analysis (GDS version 2). Ver. 2.0 data were obtained from the NASA EOSDIS Physical Oceanography Distributed Active Archive Center (PO.DAAC) at the Jet Propulsion Laboratory, Pasadena, CA (<http://dx.doi.org/10.5067/GHGMR-4FJ01>).

IFREMER/CERSAT. 2005. ERS-1 Level 3 Gridded Mean Wind Fields (IFREMER). Ver.1.PO.DAAC, CA, USA (<ftp://anonymous@ftp.ifremer.fr/ifremer/cersat/products/gridded/mwf-ers1>).

The Ssalto/Duacs altimeter products were produced and distributed by the Copernicus Marine and Environment Monitoring Service (CMEMS) (<http://www.marine.copernicus.eu>).

The products from the MERCATOR OCEAN system distributed through the Marine Copernicus Service (<http://www.marine.copernicus.eu>).

Argo data (<http://doi.org/10.17882/42182>) were collected and made freely available by the International Argo Program and the national programs that contribute to it. (<http://www.argo.ucsd.edu>, <http://argo.jcommops.org>). The Argo Program is part of the Global Ocean Observing System.

The Pacific Islands Ocean Observing System (PacIOOS) is funded through the National Oceanic and Atmospheric Administration (NOAA) as a Regional Association within the U.S. Integrated Ocean Observing System (IOOS). PacIOOS is coordinated by the University of Hawaii School of Ocean and Earth Science and Technology (SOEST).

REFERENCIAS

- Perea, A., B. Buitrón, J. Mori, J. Sánchez, C. Roque, 2015. Anomalías de los Índices reproductivos de anchoveta *Engraulis ringens* en relación al ambiente. En: Boletín Trimestral Oceanográfico, Volumen 1, Números 1-4, pp.: 27-28.
- Dewitte B., D. Gushchina, Y. du Penhoat and S. Lakeev, 2002: On the importance of subsurface variability for ENSO simulation and prediction with intermediate coupled models of the Tropical Pacific: A case study for the 1997-1998 El Niño. Geoph. Res. Lett., vol. 29, no. 14, 1666, [10.1029/2001GL014452](https://doi.org/10.1029/2001GL014452).
- Domínguez, N., C. Grados, L. Vásquez, D. Gutiérrez, A. Chaigneau. Climatología termohalina frente a las costas del Perú. Periodo: 1981-2010. Volumen 44, Número 1, Enero-Marzo 2017. Inf Inst Mar Perú 44(1).
- Donlon, C. J, M. Martin, J. Stark, J. Roberts-Jones, E. Fiedler, W. Wimmer, 2012. The Operational Sea Surface Temperature and Sea Ice Analysis (OSTIA) system. Remote Sen. Env., 116, 140-158.
- Kalnay, E., M. Kanamitsu, R. Kistler, W. Collins, D. Deaven, L. Gandin, M. Iredell, S. Saha, G. White, J. Woollen, Y. Zhu, A. Leetmaa, B. Reynolds, M. Chelliah, W. Ebisuzaki, W. Higgins, J. Janowiak, K. Mo, C. Ropelewski, J. Wang, R. Jenne, and D. Joseph, 1996: The NCEP/NCAR 40-Year Reanalysis Project. Bull. Amer. Meteor. Soc., 77, 437-471.
- Lellouche, J.-M., Le Galloudec, O., Drévillon, M., Régnier, C., Greiner, E., Garric, G., Ferry, N., Desportes, C., Testut, C.-E., Bricaud, C., Bourdallé-Badie, R., Tranchant, B., Benkiran, M., Drilllet, Y., Daudin, A., and De Nicola, C.: Evaluation of global monitoring and forecasting systems at Mercator Océan, Ocean Sci., 9, 57-81, 2013.
- Quispe Ccallauri, C, J. Tam, H. Demarcq, C. Romero, D. Espinoza, A. Chamorro, J. Ramos, R. Oliveros, 2016. El Índice Térmico Costero Peruano. En: Boletín Trimestral Oceanográfico, Volumen 2, Número 1, pp: 7-11.
- Quispe, J. y L. Vásquez, 2015. Índice “LABCOS” para la caracterización de evento El Niño y La Niña frente a la costa del Perú, 1976-2015. En: Boletín Trimestral Oceanográfico, Volumen 1, Números 1-4, pp.: 14-18.
- Takahashi, K, K. Mosquera y J.Reupo, 2014. El Índice Costero El Niño (ICEN): historia y actualización. Boletín Técnico - Vol. 1 Nro. 2, Febrero del 2014.
- UK Met Office, 2012. GHRSSST Level 4 OSTIA Global Foundation Sea Surface Temperature Analysis (GDS version 2). Ver. 2.0. PO.DAAC, CA, USA. Dataset accessed [YYYY-MM-DD] at <http://dx.doi.org/10.5067/GHOST-4FK02>.

El Boletín Semanal Oceanográfico y Biológico Pesquero presenta la evolución de variables físicas en la superficie del océano y atmósfera, así como de la estructura físico-química del océano frente a Paita -lugar referente del mar peruano para la vigilancia climática asociada a El Niño-Oscilación del Sur- con el fin de comprender los efectos de la variabilidad de corto plazo en las condiciones oceanográficas del mar peruano. Esta información se sustenta en las redes observacionales que administra el IMARPE y que se han fortalecido en el marco del Programa Presupuesto Por Resultados - PPR 068 El Niño “Reducción de Vulnerabilidad y Atención de Emergencias por Desastres” y su producto “Entidades Informadas en forma permanente y con pronósticos frente al Fenómeno El Niño”. Índices oceanográficos y pesqueros locales así como regionales de macroescala y relevante información satelital complementan las observaciones in situ. El Boletín espera informar de forma oportuna y permanente sobre el estado del océano a diferentes grupos de interés y sociedad en general, contribuir a mejorar el conocimiento del mar peruano así como coadyuvar a la gestión del riesgo de desastres naturales del Estado Peruano.



El contenido del Boletín se puede reproducir citándolo así: Boletín Semanal Oceanográfico y Biológico-Pesquero [en línea]. Callao, Instituto del Mar del Perú. Año 5, N°30, 29 de julio de 2020. [http://www.imarpe.pe/imarpe/index.php?id_seccion=101780204000000000000000](http://www.imarpe.pe/imarpe/index.php?id_seccion=1017802040000000000000).

© 2020 Instituto del Mar del Perú.
Esquina Gamarra y General Valle, Chucuito, Callao - Perú.
Hecho el Depósito Legal en la Biblioteca Nacional del Perú N°2016-02931.

Consultas: Servicios y Productos Oceanográficos
Laboratorio de Hidrofísica Marina (LHFM) - AFIOF/DGIOCC/IMARPE.
Correo electrónico: lhfm_productos@imarpe.gob.pe;
lhfm.productos@gmail.com.
Teléfono: (51 1) 208 8650 (Extensión 824).

Suscripciones: Complete [este formulario](#).